



**کنترل هماهنگ TCSC و SVC جهت بهبود رفتار دینامیکی سیستم قدرت
با اعمال کنترل کننده ترکیبی مدد لغزشی فازی تطبیقی و بهینه**

رضا قاضی^{*} - اسد عازمی^{**} - کاظم پوربدخشنان^{***}

دانشگاه فردوسی مشهد

ایران

کلمات کلیدی: کنترل مدد لغزشی فازی تطبیقی، فیدبک بهینه حالت (LQG)، جبران کننده خازن سری (TCSC)، جبران کننده استانیکی توان راکتور (SVC)، ابزار FACTS

که مزایای هر دو روش را در بر دارد طراحی شده است. مقاوم بودن کنترل کننده جدید در مقابل اغتشاشهای مختلف سیستم بررسی و مزیت روش کنترلی جدید نسبت به سایر کنترل کننده‌ها نشان داده شده است.

چکیده:

در این مقاله اعمال همزمان جبران کننده‌های TCSC و SVC و کنترل هماهنگ آنها جهت بهبود رفتار دینامیکی سیستم قدرت مورد مطالعه قرار گرفته است. کنترل کننده‌های مدد لغزشی، مدد لغزشی فازی، مدد لغزشی فازی تطبیقی، بهینه، دیجیتال، PID و PID اضافی طراحی و پاسخ سیستم به هر یک از این کنترل کننده‌ها بررسی شده است. با توجه به پاسخ مطلوب روش کنترل مدد لغزشی فازی تطبیقی در حالت گذرا و پاسخ مناسب کنترل کننده بهینه LQG در حالت دائمی ترکیب این دو کنترل کننده به عنوان کنترل کننده جدید

* دانشیار دانشگاه فردوسی مشهد

** استاد بار دانشگاه فردوسی مشهد

*** کارشناس ارشد دانشگاه فردوسی مشهد

سطح تعریف شده لغزش که از پایداری
مجانسی لیپانوف برخوردار است، رسانده و
سپس با استفاده از قانون لغزشی آن را به
حالت تعادل می رساند. به این منظور برای
سیستم زیر

$$x'' = f(x) + b(x)u \quad (1)$$

قانون کنترلی زیر را انتخاب می کنیم [۷]

$$u = b(x)^{-1}[\hat{u} - Q, \operatorname{sgn}(s)] \quad (2)$$

که در آن \hat{u} تخمین کنترل است. هر چند تعیین محدوده تغییرات Q امکان پذیر است ولی تعیین بهترین مقدار آن با سعی و خطا همراه می باشد. در صورتی که تعداد کنترل کننده ها و ورودی ها زیاد باشد این مقدار توان با خطای زیادی خواهد بود. استفاده از این کنترل کننده برای سیستم قدرت به علت ماهیت غیر خطی آن با محدودیتهایی همراه است در صورتی که درجه سیستم پایین باشد می توان با توجه به روش بالا کنترل کننده غیر خطی را طراحی نمود [۳، ۲، ۱] ، ولی با افزایش درجه سیستم با توجه به بالا رفتن خطای در تعیین Q عملأً بهینه سازی آن غیر ممکن می باشد.

۱-۲ کنترل کننده مد لغزشی فازی
جهت تعیین مقدار بهینه Q در معادله (۲) و

یکی از جدیدترین پیشرفتهای صنعت برق استفاده از سیستمهای انتقال جریان متناوب انعطاف پذیر^۱ است. این تجهیزات با سرعت کلید زنی زیاد به صورت ترکیب سری و موازی جهت کنترل پارامترهای سیستم و انعطاف پذیر کردن آن به منظور بهبود بهره برداری و حداکثر استفاده از امکانات بالقوه سیستم طراحی می شوند، از جمله کاربردهای این ابزار: کنترل ولتاژ، کنترل پخش بار، بهبود پایداری گذرا و دینامیکی، محدود کردن جریان ساز های SVC و TCSC دو ابزار معروف FACTS هستند که بصورت موازی و سری در مدار قرار می گیرند و باعث افزایش میرایی سیستم قدرت می شوند

۲ - طراحی کنترل کننده غیر خطی مد لغزشی برای سیستم قدرت

روش کنترل مد لغزشی یکی از مهمترین روش های کنترل غیر خطی می باشد که از مشخصه های بارز آن عدم حساسیت به تغییر پارامترها و دفع کامل اختشاش و مقابله با عدم قطعیت است. این کنترل کننده ابتدا سیستم را از حالت اولیه با استفاده از قانون رسیدن به

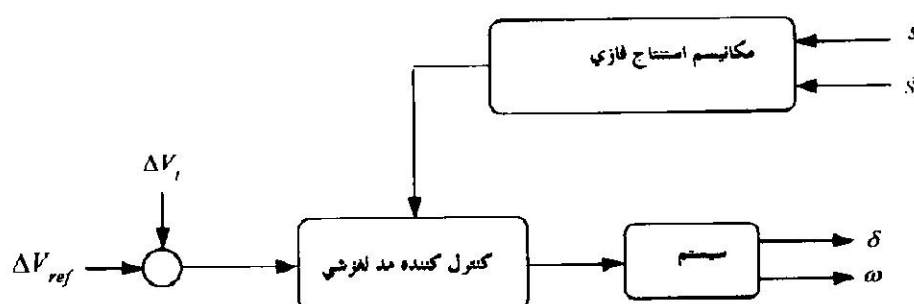
^۱FACTS = Flexible AC Transmission Systems

قوانین فازی بکار گرفته طوری عمل می کنند که اگر مسیر حرکت از سطح لغزش دور باشد آن را به سطح نزدیک می نماید \dot{S} سرعت نزدیک یا دور شدن را نشان می دهد که در این قوانین از آن بخوبی استفاده شده است

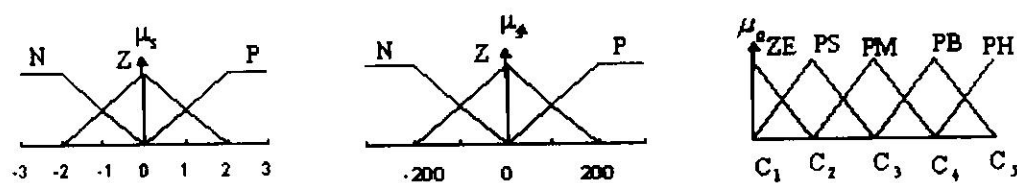
قوانین عبارتند از:

کاهش پدیده چترینگ از کنترل کننده مد نزعشی فازی استفاده می شود که در آن از یک مکانیزم استنتاج فازی و دو مجموعه فازی ورودی S و \dot{S} و به عبارتی سطح سوئیچ و مشتق آن، یک مجموعه خروجی Q_S استفاده شده که شمای آن در شکل ۱ نشان داده شده است. مجموعه های ورودی و خروجی در شکل ۲ نشان داده شده است.

IF $\{(S \text{ is } P \text{ AND } \dot{S} \text{ is } P) \text{ OR } (S \text{ is } N \text{ AND } \dot{S} \text{ is } N)\}$ THEN $Q_S \text{ is } PH$
 IF $\{(S \text{ is } P \text{ AND } \dot{S} \text{ is } Z) \text{ OR } (S \text{ is } N \text{ AND } \dot{S} \text{ is } Z)\}$ THEN $Q_S \text{ is } PB$
 IF $\{(S \text{ is } P \text{ AND } \dot{S} \text{ is } N) \text{ OR } (S \text{ is } N \text{ AND } \dot{S} \text{ is } P)\}$ THEN $Q_S \text{ is } PM$
 IF $\{(S \text{ is } Z \text{ AND } \dot{S} \text{ is } P) \text{ OR } (S \text{ is } Z \text{ AND } \dot{S} \text{ is } N)\}$ THEN $Q_S \text{ is } PS$
 IF $(S \text{ is } Z \text{ AND } \dot{S} \text{ is } Z)$ THEN $Q_S \text{ is } ZE$



شکل ۱ بلوک دیاگرام سیستم کنترل مد لغزش فازی



شکل ۲ - مجموعه های فازی عضویت ورودی های S و \dot{S} و خروجی Q_S

در این مقاله با توجه به قسمت قبلی که مقدار QS از قوانین فازی تعیین شد ملاحظه تعیین پایه های توابع عضویت می شود این متغیر یعنی C_i ها در پایداری و در بنده مطلوب بودن حبابها بسیار مؤثر

۴-۲ کنترل کننده لغزشی فازی تطبیقی

کنترل سیستم خطی با معادلات حالت (۱) و تابع معیار (۴) ماتریس فیدبک حالت بهینه G را به صورت زیر در نظر می‌گیریم.

$$G = R^{-1}B^TP \quad (5)$$

از حل معادله ریکاتی بدست می‌آید.

$$A^T P + PA - PBR^{-1}B^T P + Q = 0 \quad (6)$$

پس از حل معادله ریکاتی (۶) و بدست آوردن P ، قانون کنترل بهینه بصورت زیر بدست می‌آید.

$$u = -GX \quad (7)$$

برای حل معادله ریکاتی از تابع lqr از نرم افزار MATLAB استفاده شده است. به این ترتیب سیستم جدید به صورت زیر خواهد بود.

$$A_i = A - BG \quad (8)$$

۴-۲ کنترل کننده ترکیبی شامل کنترل بهینه و مد لغزشی فازی تطبیقی

همانطور که در قسمتهای قبل ذکر شد به خاطر گریز از مسئله چتربنگ در کنترل کننده لغزشی خطای حالت دائم را پذیرفتیم و به کنترل کننده لغزشی فازی و سپس برای بهبود وضعیت کاری این کنترل کننده به طرف کنترل کننده لغزشی فازی تطبیقی کشیده شدیم. با توجه به شبیه سازی های انجام شده ملاحظه می شود سیستم در پاسخ به کنترل کننده مد

روش کنترل لغزشی فازی در تعیین این پایه ها از روش سعی و خطأ استفاده می شود ولی با توجه به تعریف کنترل کننده فازی تطبیقی می توان این پایه ها را با استفاده از قانون تطبیقی زیر تعیین نمود. [۵]

$$u = C^T W(x) \quad (3)$$

$$\dot{C} = \gamma e^T S W(x)$$

S که در آن سطح لغزش ϵ مقدار خطای سرعت روتور و γ یک عدد ثابت و W ارتفاع خروجیهای فازی می باشند.

۳-۲ کنترل بهینه

برای بررسی عملکرد کنترل کننده های طراحی شده لازم است با یکی از کنترل کننده های پایه از حمله کنترل کننده بهینه مقایسه شود. در مبحث کنترل بهینه عملکرد سیستم تابع معیار زیر ارزشیابی می شود:

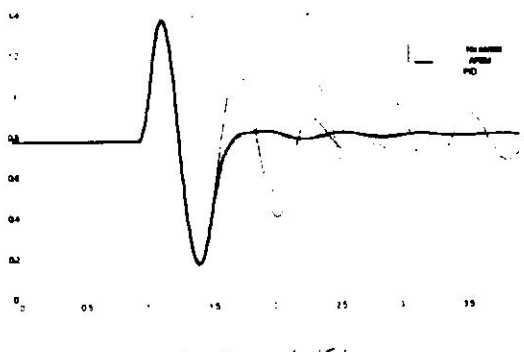
$$J = \int_0^{\infty} (X^T(t)QX(t) + u^T(t)Ru(t))dt \quad (4)$$

هدف از حل مسئله کنترل بهینه تعیین کنترل مناسبی است که باعث شود سیستم (۱) مسیر قابل قبولی را تعقیب نموده و تابع معیار فوق را کمینه نماید. معیارهای انتخاب تابع معیار به عوامل فیزیکی سیستم بستگی دارد. در سیستم های قدرت مسئله مورد نظر کمینه کردن تابع انرژی سیستم می باشد. لذا تابع معیار، تابعی درجه دو از بردار حالت و کنترل انتخاب می شود. برای بدست آوردن قانون

دارای پاسخهای بسیار مناسبتری از کنترل کننده‌های دیگر می‌باشد و در مقابل اغتشاشهای سیستم نیز بطور مؤثری مقاوم است. در این روش از مزایای دو کنترل کننده لغزشی فازی تطبیقی و LQG به طور همزمان استفاده شده است.

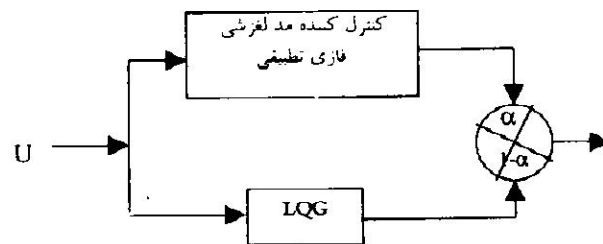
-۲ نتایج شبیه سازی

سیستم مورد مطالعه عبارت است از یک ژنراتور سنکرون، SVC، TCSC، خط انتقال متصل به باس بی نهایت که دیاگرام، مدل و معادلات آنها در ضمیمه مقاله وداده‌های سیستم در مرجع [۴] آمده است. نتایج شبیه سازی حاصل از اعمال کنترل کننده‌های VSC، AFSM با کنترل کننده PID در شکل ۴ و ۵ نشان داده شده است که به ترتیب مربوز به پاسخ سرعت زاویه روتور در مقابل اتصال کوتاه ۱۰۰ میلی ثانیه در باس بی نهایت است.



شکل ۴- سرعت روتور

لغزشی فازی تطبیقی دارای پاسخ حالت گذرای مناسبی است ولی از رفتار حالت دائمی خوبی برخوردار نیست [۷]. همچنین شبیه سازی‌های عمل آمده نشان می‌دهند کنترل کننده LQG از نظر حالت دائمی بهترین پاسخ را دارد. لذا در این قسمت با توجه به [۶] کنترل کننده ترکیبی جدیدی پیشنهاد شد. در این روش کنترل از ضریب ثابت α برای استفاده بهینه از دو کنترل کننده LQG و لغزشی فازی تطبیقی استفاده می‌شود. شما این کنترل کننده در شکل ۳ نشان داده شده است. در اینجا سیگнал خروجی کنترل کننده‌ها در بهره‌های α و $1-\alpha$ ضرب می‌شود. α مقادیر بین صفر و یک را به خود اختصاص می‌دهد.



شکل ۳ شما کنترل کننده ترکیبی

پروسه تعیین α به گونه‌ای است که در حالت گذرا، کنترل کننده لغزشی فازی تطبیقی در مدار بوده و یا به عبارتی $\alpha=1$ است. پس از گذشتن از حالت گذرا و نزدیک شدن به حالت ماندگار α به سمت صفر می‌کند و کنترل کننده LQG وارد مدار می‌شود و حالت ماندگار را تصحیح می‌کند. شبیه سازی‌های عمل آمده نشان می‌دهند کنترل کننده جدید

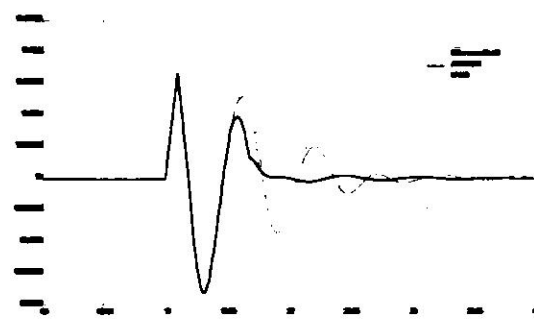
زمان نشت: مدت زمانی است که در صد تغییرات متغیر به کمتر از ۲٪ حالت ماندگار رسیده است.

جدول ۱- مقایسه کنترل کننده‌های مختلف برای خطا روی باس بین نهایت (برای متغیر ۵)

بالازدگی (%)	زمان نشت (s)	کنترل کننده
۷۵/۶۶	۶	بدون کنترل
۷۵/۶	۱/۵	PID
۵۶	۱/۶	PID اضافی
۵۷/۵	۱	LQG
۵۷	۰/۸	دیجیتال
۲۶	۱/۵	ساختار متغیر
۲۶	۰/۷	ساختار متغیر فازی
۵۹	۰/۶	ساختار متغیر فازی تطبیقی
۵۶	۰/۶	ساختار متغیر فازی تطبیقی بهینه

۳- نتیجه گیری

در این مقاله نقش جبران کننده‌های استاتیکی توان راکتیو SVC و سری TCSC و استفاده همزمان این دو جبران ساز در بهبود حالت گذراي سистем مورد بررسی قرار گرفته است. در این مقاله کنترل کننده‌های PID، بهینه، دیجیتال، ساختار متغیر و ساختار متغیر فازی و ساختار متغیر فازی تطبیقی برای کنترل SVC و TCSC جهت افزایش میرایی نوسانات الکترو مکانیکی سیستم قدرت طراحی شد. بدليل قابل قبول نبودن حالت ماندگار سیستم در



شکل ۵- زاویه روتور

کنترل کننده PID با ضرایب ثابت با استفاده از روش تخصیص مقادیر ویژه مدل خطی طراحی شده است. کنترل کننده بهینه LQG برای سیستم مورد مطالعه با استفاده از مدل خطی سیستم و بر اساس روش شیفت بهینه قطبهای غالب سیستم طراحی شد. نتایج شبیه سازی مربوط به این کنترل کننده هابرای سیستم مورد مطالعه در مقابل انواع اختلالها مانند اتصال کوتاه، تغییر بار، تغییر ولتاژ مرجع و تغییر گشتاور ورودی و همچنین وارد کردن عدم قطعیت‌هایی در مدل سیستم در مرجع [۷] که مربوط به نویسنده‌گان مقاله است، به تفصیل آمده است. جهت اختصار و برای مقایسه کنترل کننده‌ها، جدول زیر که مربوط به خطای سه فاز روی باس بین نهایت به مدت ۱۰۰ میلی ثانیه می‌باشد در این مقاله آمده است.. نمادها و تعاریف این جدول عبارتند از :

درصد بالازدگی : درصد بالازدگی متغیر مورد نظر نسبت به حالت ماندگار

معادله های ژنراتور سنکرون همراه سیستم تحریک:

$$\delta = (w - 1)w_b$$

$$\dot{w} = (T_m - T_e - DT_D) / M$$

$$\dot{E}'_d = (-E'_d - (X_q - X'_q)I_q) / T_{qo}$$

$$\dot{E}'_q = [E_{fd} - E'_q + (X_d - X'_d)I_d] / T_{do}$$

$$T_e = E'_d I_d + E'_q I_q - (X'_q - X'_d)I_d I_q$$

که در آن

زاویه ژنراتور	δ
گشتاور مکانیکی ژنراتور	T_m
ولتاژ القایی ژنراتور در جهت محور d	E'_d
ولتاژ القایی ژنراتور در جهت محور q	E'_q
ولتاژ ترمیتال	V_t

کنترل کننده لغزشی فازی تطبیقی، این کنترل کننده را بوسیله یک روش جدید فازی با کنترل کننده LQG ترکیب شد که نتایج شبیه سازی مطلوب بود و مقاوم بودن این کنترل کننده پیشنهادی را تأیید می نمایند

- مراجع اصلی:

1. Wang Y. "Variable structure FACTS Controllers for Power system transient stability" IEEE Power systems, vol. 7, No 1, PP 307-313. 1992
2. Matthews,G.P. "Toward a feasible bus". IEEE Auto. Cont. Vol. 31, No 12, 1159-1163, 1986
3. Chan, W.C."An optimal variable structure for Power system stabilization". IEEE PAS Vol. 192, No. 6, PP 1738-1745, 1983.
4. Chin, Hsing Chen, at el, "Damping of generator oscillations using an adaptive static var compensator, IEEE, Power systems vol. 7, No 2, May 1992.
5. Lin F.J. at el "Adaptive fuzzy sliding mode control for PM synchronous servo motor drive" IEE Proc. Control theory, vol.145,no.1, pp63-67, 1998.
6. Barrero, F. at el "Speed control of induction motors using a novel fuzzy sliding mode structure" IEEE trans.vol. pp 1073-1078, 1999.

کاظم پوریدخان کنترل هماهنگ جیران کننده سری و موازی جهت بهبود رفتار دینامیکی سیستم قدرت با اعمال کنترل کننده ساختار متغیر فازی تطبیقی، پایان نامه کارشناسی ارشد ، دانشگاه فردوسی مشهد ۱۳۷۹ .

ضییمه: سیستم مورد مطالعه.

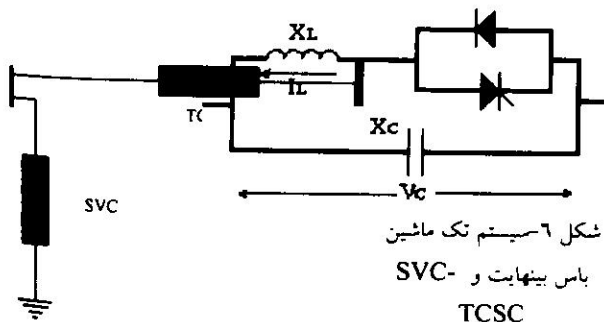
$B_i(a) = \frac{2\pi - 2\alpha + \sin 2\alpha}{2\pi X_s}$	$0 \leq \alpha \leq \pi$	اینرسی آرمیچر	M
$B_s = B_c - B_{i(\alpha)}$		راکتانس حالت دائم در جهت محور d	X_d
ولتاژ مرجع	V_{ref}	راکتانس حالت دائم در جهت محور q	X_q
سوپیتانس خازنی SVC	B_c	مولفه جریان در جهت محور d	I_d
ثابت زمانی سیستم آتش تریستورها	T_r	مولفه جریان در جهت محور q	I_q
ولتاژ سیگنال کنترل SVC	U	سرعت محور ژنراتور	w
معادله خط انتقال و جبران کننده خازن سری (TCSC)		کشناور الکتریکی ژنراتور	T_e
$V_q = V_b \cos \delta - X_L I_{ad}$		ولتاژ ترمینال ژنراتور در جهت محور d	V_d
راکتانس لحظه‌ای TCSC	X_c	ولتاژ ترمینال ژنراتور در جهت محور q	V_q
راکتانس خط انتقال	X_e	سرعت پایه	w_h
ولتاژ باس بی‌نهایت	V_b	مقاومت اهمی آرمیچر	R_a
$V_d = -V_b \sin \delta - X_L I_{ad}$		راکتانس حالت گذرا در جهت محور d	X'_d
$X_t = X_e - X_c$		راکتانس حالت گذرا در جهت محور q	X'_q
و با در نظر گرفتن هارمونیک اول جریان،		ثابت زمانی مواد باز گذرا محور d	I'_{do}
می‌توان رابطه بین سوپیتانس SVC و زاویه آتش تریستور را بدست آورد.		ثابت زمانی مواد باز گذرا محور q	I'_{qq}

مدل جبران کننده استاتیکی توان راکتور (SVC) در مختصات q و d:

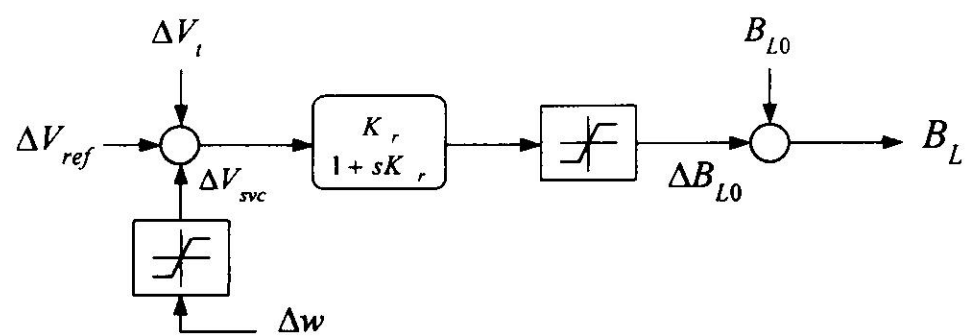
$$\dot{B}_s = \frac{B_s - B_{so}}{T_r} + \frac{k_r(V_{ref} - V_s)}{T_r} + \frac{k_r U}{T_r}$$

SVC سوپیتانس کل

$B_{i(\alpha)}$	SVC سوپیتانس لحظه‌ای سیم پیچ
B_{so}	SVC سوپیتانس ابتدایی سیم پیچ
X_t	SVC امپدانس ترانس
k_r	بهره سیستم آتش تریستورها
α	زاویه آتش تریستورها



شکل ۷ - ساختار مشترک tcscl , svc



شکل ۸ - مدل اساسی [f] IEEE SVC